

بررسی و امکان‌سنجی فرایند تولید گرافیت از پسمان‌های چوب صنوبر، تایر و کاه

آیسان فرجی بخشکندي^۱، مرتضی قلیزاده^{۲*}، عزیز باباپور^۳ و حسن اقدسی‌نیا^۴

۱. دانشجوی کارشناسی ارشد دانشکده مهندسی شیمی و نفت، دانشگاه تبریز، تبریز، ایران.
۲. دانشیار دانشکده مهندسی شیمی و نفت، دانشگاه تبریز، تبریز، ایران.
۳. دانشیار گروه مهندسی شیمی، دانشگاه محقق اردبیلی، اردبیل، ایران.

دریافت: اردیبهشت ۱۴۰۲ بازنگری: تیر ۱۴۰۲ پذیرش: اسفند ۱۴۰۲

<https://doi.org/10.30495/JACR1.1403.1044872>

چکیده

در این مطالعه برای امکان‌سنجی تولید گرافیت از سه نمونه چوب صنوبر، تایر و کاه در دماهای ۵۰۰، ۷۰۰ و ۸۰۰ درجه سلسیوس با زمان ماندگاری ۲۰ دقیقه و سرعت گرمادهی $5^{\circ}\text{C}/\text{min}$ تف کافت شدن و اثرهای دمای تف کافت بر چارهای تولید شده بررسی شد. نتیجه‌ها نشان داد که افزایش دمای تف کافت منجر به کاهش بازده چار شد و چار هر سه نمونه در دمای ۵۰۰ درجه سلسیوس بیشترین بازده را داشت که به دلیل تجزیه بیشتر واکنشگرها در دماهای بالاتر است. برپایه نتیجه‌های تجزیه عنصری غلظت کربن با افزایش دما در همه نمونه‌ها افزایش، ولی غلظت هیدروژن، نیتروژن، گوگرد و اکسیژن کاهش یافت. در طیف‌های فروسرخ تبدیل فوریه (FTIR) هر سه نمونه به دست آمده از چوب صنوبر، تایر و کاه، گروه‌های عاملی OH^- , C-O , C=O و C-H مشاهده شدند و در دماهای بالاتر نسب ترکیب‌های آروماتیک افزایش یافت. در الگوهای پراش پرتو ایکس (XRD) (قله ۰۰۲) مربوط به صفحه‌های گرافیت در نمونه‌ها مشاهده شد. با افزایش دما، قله (۰۰۲) در الگوهای چارهای به دست آمده از چوب صنوبر، تایر و کاه در دمای ۸۰۰ درجه سلسیوس، تیزتر و باریکتر باشد بالا بودند که نشان دادند نمونه‌های تهیه شده در این دما نسبت به سایر دماهای گرافیت تجاری شبیه‌تر بودند. مقایسه نمودارهای TGA نمونه‌ها نشان دادند که چارهای تولید شده از هر سه نمونه در دمای ۸۰۰ درجه سلسیوس، کاهش وزن کمتری را نسبت به سایر نمونه‌ها نشان دادند و از پایداری گرمایی بالاتری برخوردار بودند.

واژه‌های کلیدی: پسمان تایر، چوب صنوبر، کاه، تف کافت، گرافیت.

مقدمه

کمک می‌کند. برای تنها منبع تجدیدپذیر حاوی کربن، زیستتوده ذخایر زیادی دارد و سازگار با محیطزیست است که آن را به یک ماده خام مناسب برای تهیه کربن گرافیت باکیفیت بالا تبدیل می‌کند [۲].

فرایند سترن گرافیت در سال‌های اخیر به طور فرایندهای متداول شده است. کربن عنصر پایه‌ای است و در ساختار بلوری قرار گرفته است که گرافیت را تشکیل می‌دهد. بنابراین، کربن به عنوان پیش‌ساز برای تولید گرافیت انتخاب می‌شود. پیش‌ساز کربن، ماده خامی است که در تولید فیبر کربن پس از فرایند عملیات گرمایی استفاده می‌شود. ازان جایی که کربن عنصر اصلی برای بیشتر موجودات زنده جهان است، بسیاری از منابع را می‌توان به عنوان پیش‌سازهای کربن استفاده کرد. با این حال، ترکیب‌ها با محتوای کربن فراوان مطلوب‌تر هستند؛ زیرا می‌توانند مقدار کربن بیشتری تولید کنند. سه پیش‌ساز کربن وجود دارد که به طور معمول برای تولید فیبر کربن استفاده می‌شود. نخستین پیش‌ساز سلولز است که در سال ۱۸۷۱ معرفی شد. دومین پیش‌ساز کربن پلی اکریلونیتریل (PAN)^۱ و پیش‌ساز سوم لیگنین است. در میان آن‌ها، دو پیش‌ساز طبیعی (سلولز و لیگنین) هستند، درحالی‌که PAN یک پیش‌ساز مصنوعی است. زنجیره‌های طولانی ترکیب‌های کربن، هیدروژن و اکسیژن به طور معمول در بیشتر مواد سلولزی یافت می‌شود. کربن موجود در مواد سلولزی می‌تواند تا ۵۵ درصد وزنی باشد. این مقدار کربن بالا، آن‌ها را واحد شرایطی می‌کند که به عنوان پیش‌سازهای کربن برای تولید کربن گرافیتی استفاده شوند.

رویکرد بهینه برای تولید گرافیت از زیستتوده را می‌توان به دو مرحله اصلی تقسیم کرد. نخستین مرحله، تولید مواد با محتوای کربن بالا از زیستتوده از راه فرایند کربن‌سازی است. به دنبال آن گرافیتسازی انجام می‌شود که شامل بازسازی ساختار کربن آریخت به کربن گرافیتی بلوری است. مواد

بیشتر مواد کربنی مانند گرافیت که به صورت تجاری تولید می‌شوند از منابع تجدیدناپذیر (نفت و زغال‌سنگ) تأمین می‌شوند که گران هستند. کمبود منابع تجدیدناپذیر پژوهشگران را وادار کرده است که به دنبال منابع تجدیدپذیر به عنوان خوراک برای تولید مواد کربنی باشند. گرافیت توسط ایالات متحده و اتحادیه اروپا به عنوان یک ماده معدنی راهبردی و حیاتی با بازاری که انتظار می‌رود به ۴۸ میلیون تن و ۱۷/۵۶ میلیارد دلار برسد، گروه‌بندی شده است [۱]. گرافیت تجاری فراورده ارزشمندی است که به طور گسترده در طیف وسیعی از کاربردها استفاده می‌شود. افزایش تقاضا، به ویژه برای استفاده خاص، منجر به پژوهش‌هایی در مورد تولید گرافیت مصنوعی^۲ جایگزین، کم‌هزینه و سازگار با محیط‌زیست شده است.

گرافیت به طور معمول از کک نفتی^۳، آسفالت، زغال‌سنگ و سایر منابع کربن با رسوب بخار یا پیش‌سازهای کربنی که در گستره دمایی بسیار بالا بین ۱۸۰۰ تا ۳۵۰۰ درجه سلسیوس تصفیه می‌شوند، به دست می‌آید. تبدیل کربن آریخت^۳ به گرافیت با بلوغ‌نگی بالا به طور معمول هفت‌ها طول می‌کشد و این فرایند با مصرف انرژی زیاد همراه است. پیش‌سازهای کربن غیرقابل تجدید نیز به طور جدی تولید پایدار گرافیت را محدود می‌کنند [۲].

تولید سالانه پسماندهای زیستتوده حدود ۱۷۰۰ تن شامل ۷۵ درصد کربوهیدرات، ۲۰ درصد لیگنین و ۵ درصد سایر فراورده‌های طبیعی است، از این میان تنها ۳/۵ درصد از این زیاله به طور کامل استفاده می‌شود. استفاده از زیستتوده در تولید انرژی و مواد شیمیایی دیگر به رشد اقتصادی کشورهایی که کشاورزی دارند، کمک می‌کند. همچنین، به کاهش واپستگی به سوخت‌های فسیلی و ایجاد فرسته‌های شغلی بیشتر در کشاورزی، مدیریت جنگل، نفت و صنایع شیمیایی

1. Synthetic graphite
2. Petroleum coke
3. Amorphous

4. Polyacrylonitrile

قلی زاده و همکاران

واحدهای حلقه همراه با تکامل بیشتر آب، CO و CO₂ را شامل می شود. در مرحله چهارم آروماتیک شدن یا تشکیل لایه های گرافیت مانند، انجام می شود. پسمند پایانی هر واحد حلقه سلولزی، اتم های چهار کربنی است که به عنوان بلوك اصلی برای تشکیل لایه های گرافیتی عمل می کند [۴].

از طرفی، تقاضا برای تولید تایرهای جدید برای رفع نیازهای صنعت خودروسازی که به سرعت در حال رشد است، هرسال به ۴/۳ درصد افزایش یافته و به ۲/۹ میلیارد لاستیک رسیده است [۵]. از آنجایی که نگرانی اصلی، محیط‌زیست و هزینه است، پسمندهای زیست‌توده و تایر، انتخابی عالی برای مواد خام هستند. یکی از راههای ممکن برای تهیه مواد کربنی، روش تف کافت است. روش تف کافت فرایندی است که از گرما برای تبدیل زیست‌توده به انرژی یا فراورده شیمیایی استفاده می کند. در روش تف کافت، این فرایند منجر به باقیماندن بیشتر کربن و خروج عناصر دیگر می شود. در واقع بیشتر فراورده کربنی که امروزه استفاده می شود از پیش‌سازهای آلی غنی از کربن گرفته شده است که در دمای بالا در جریان گاز بی اثر تصفیه شده‌اند.

در این پژوهش، زیست‌تودهای چوب صنوبر^۱، کاه^۲ و پسمندهای تایر^۳ برای امکان‌سنجی تولید گرافیت در دماهای ۵۰۰، ۷۰۰ و ۸۰۰ درجه سلسیوس تف کافت شدند. همچنین، تأثیر دمای تف کافت بر ویژگی چارهای تولیدی بررسی شد.

بخش تجربی

مواد مورد استفاده

پسمندهای لاستیک به عنوان ماده اولیه از لاستیک اتومبیل‌های سیک جمع‌آوری شد. پیش از انجام آزمایش برای حفظ یکنواختی اجزا، نمونه‌های لاستیک در اندازه‌های طول ۵ تا ۱۰ میلی‌متر، عرض حدود ۳ تا ۷ میلی‌متر و ارتفاع ۳ تا ۵

زیست‌توده خام به دلیل پدیدهای بهنام « مقاومت زیست‌توده»، کربن پایینی دارند که مقاومت طبیعی دیوارهای سلولی گیاه در برابر تخریب با میکروبها و آنزیم‌ها را توصیف می‌کند. لیگنین و همی‌سلولز موجود در زیست‌توده لیگنوسلولزی، در درجه اول مسئول این مقاومت هستند، زیرا میکروفیبرهای سلولز را می‌پوشانند. بنابراین، برای تبدیل مواد زائد زیست‌توده به پیش-ساز کربن، تف کافت موردنیاز است. در طول کربن‌سازی، مواد فرار موجود در پسمندهای زیست‌توده آزاد می‌شوند و پسمندهای زیست‌توده به کربن تبدیل می‌شوند [۳].

در طول فرایند گرافیتی‌شدن که در آن کربن آریخت در مدت زمان طولانی تحت عملیات گرمایی قرار می‌گیرد، انرژی گرمایی از بازسازی ساختار اتمی به یک ساختار بلوری منظم پشتیبانی می‌کند که نشان دهنده کربن ساختاریافته گرافیکی است. در حال حاضر، متداول‌ترین روش سنتز گرافیت که به طور گسترده‌ای در صنعت به کار گرفته می‌شود، با استفاده از مواد خام فسیلی است که به دمای بالایی تا ۳۰۰ درجه سلسیوس، نیاز دارد. از طرف دیگر، گرافیت مصنوعی نیز می‌تواند از زیست‌توده، به عنوان پیش‌ساز کربن، تولید شود. فرایند گرافیتی-شدن بیشتر می‌تواند به تبدیل پیش‌ساز کربن از زیست‌توده به گرافیت کمک کند. کربن گرافیتی از پیش‌سازهای زیست‌توده کربن مزایای بسیاری را ارائه می‌دهد. سنتز کربن گرافیتی از زیست‌توده، افزون بر اینکه یک واکنشگر فراوان و ارزان است، به دمای گرافیتی‌شدن کمتری نیاز دارد که برای حفاظت از محیط‌زیست مفید است [۳].

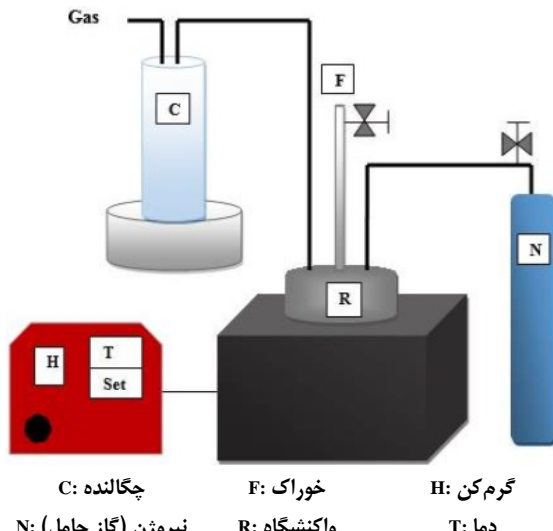
با توجه به موضوع مورد بررسی، سازوکار تشکیل گرافیت

از مواد سلولزی شامل چهار مرحله است:

مرحله اول شامل دفع فیزیکی آب (۲ درصد، ۱۵۰ درجه سلسیوس) است که یک فرایند برگشت‌پذیر است و آب جذب-شده می‌تواند به ۱۲ درصد برسد. مرحله دوم شامل آبگیری از واحد سلولز (۲۴۰ درجه سلسیوس) است. مرحله سوم بریدگی زنجیره یا بسپارش و شکستن پیوندهای C-O و C-C در

1. Poplar
2. Straw
3. Tire

سترنانوذردهای NiO دوبه شده با $Cu(II)$ با آسیاب ...



شکل ۱ طرحواره‌ای از سامانه به کارگرفته شده در فرایند تف کافت

روش‌ها و دستگاه‌ها برای بررسی ویژگی‌های فراورده instrument تعیین عناصر مربوط به نمونه‌ها با دستگاه EuroEA3000-Single انجام شد. برای انجام این کار، نمونه‌ها در لوله احتراق و در دمای ۹۵۰ درجه سلسیوس سوزانده و با آشکارساز TCD¹ عنصرهای سازنده شناسایی و مقدارهای آن‌ها تعیین شدند. لازم به ذکر است که گاز هلیوم به عنوان گاز حامل در این سامانه استفاده شد. طیف‌سنج فروسرخ تبدیل فوریه (FTIR) مدل Nicolet 5050 instrument برای ثبت طیف‌های FTIR نمونه‌ها به کارگرفته شد. پراش‌سنج Ultima IV X-ray² ساخت شرکت ریجاکو³ برای ثبت الگوهای XRD نمونه‌ها به کارگرفته شد. منبع ایجاد پرتو، CuKa و طول موج پرتو به کارگرفته 1.5\AA آنگستروم، سرعت روشن تجزیه وزن‌سنگی گرمایی (TGA)⁽³⁾ پرکین الم ساخت آمریکا بود. ابتداء نمونه‌ها تا دمای ۳۰۰ درجه سلسیوس گرمادهی و برای حذف رطوبت فیزیکی آن‌ها، ۲۰ دقیقه در این دما نگه داشته شدند. سپس، گرمادهی نمونه‌ها تا ۸۵۰ درجه سلسیوس با سرعت $20^{\circ}\text{C}/\text{min}$ در

میلی‌متر آماده شدند. همچنین، پسمانه‌ای چوب صنوبر و کاه جمع‌آوری و در اندازه‌های ۱ تا ۲ میلی‌متر آماده شدند.

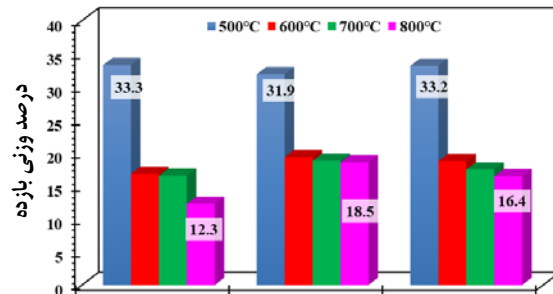
سامانه به کارگرفته شده در فرایند تف کافت در شکل ۱ طرحواره‌ای از دستگاه استفاده شده آورده شده است. در این آزمایش واکنشگاه فرایند تف کافت از نوع نیم‌پیوسته بستر ثابت و ارتفاع آن حدود 19 cm و قطر آن 19 cm است. جنس واکنشگاه از نوع فولاد پادزنگ است و ۲ عدد شیر سوزنی فولاد 316 و یک عدد شیر تویی فولادی 316 دارد. برای ورودی گاز لوله 0.25 inch و برای خروجی آن لوله 0.25 inch تعبیه شده است. برای انجام آزمایش، حدود ۱۵ گرم از هر نمونه (پسمانه‌ای لاستیک، چوب صنوبر و کاه)، گاز نیتروژن با خلوص بالا به عنوان گاز حامل و همچنین، یک واپايشگر برای واپايش دمای واکنشگاه به کارگرفته شد. تف-کافت نمونه‌ها در دمای 500 درجه سلسیوس و در فشار اتمسفری انجام شد. پس از اینکه دمای واکنشگاه با کوره از دمای اتاق به دمای مورد نظر رسید، ۱۵ گرم خوارک در هر آزمایش در واکنشگاه قرار داده شد. سپس، به مدت 20 دقیقه خوارک داخل واکنشگاه تف کافت قرارداده شد. در هنگام انجام آزمایش، واکنشگاه با گاز نیتروژن پاک‌سازی شد. پس از آزمایش چار در واکنشگاه، روغن زیستی در چگالنده و گاز به عنوان فراورده تف کافت جمع‌آوری شدند.

برای بررسی تولید گرافیت، مقدار 3 گرم از چار تولید شده از هر نمونه پسمانه‌ای لاستیک، چوب صنوبر و کاه در کوره در دماهای 600 ، 700 و 800 درجه سلسیوس گرمادهی و زمان واکنش 20 دقیقه در نظر گرفته شد. برای ایجاد یک جو بی‌افر، گاز نیتروژن در سراسر عملیات گرمایی جریان داشت.

1. Thermal conductivity detector (TCD)
2. Rigaku
3. Thermogravimetric Analysis (TGA)

قلی زاده و همکاران

به آرامی رخ داد. انتشار شدید مواد فرار در اثر گرما در داخل ذرهای تایر موجب انتشار سریع آنها به سمت خارج می‌شود، این شرایط واکنش‌های تراکم ثانویه مواد فرار تف کافت را به کمینه می‌رساند و تشکیل فراورده جامد را کاهش می‌دهد [۷]. در چار کاه مقدار بازده چار در دمای ۵۰۰ درجه سلسیوس با بقیه دمایا متفاوت بود و بازده چار به دست آمده از کاه در دمای ۵۰۰ درجه سلسیوس از مقدار ۳۳/۲ درصد به ۱۸/۷ درصد در دمای ۶۰۰ درجه سلسیوس کاهش یافت. کاهش بازده چار با افزایش دما می‌تواند به دلیل تجزیه اولیه بیشتر مواد خام در دماهای بالاتر باشد [۸]. بازده چار تولیدشده از چوب صنوبر، تایر و کاه به عنوان تابعی از دمای تف کافت در شرایط یکسان روندهای مشابهی را نشان دادند و بازده چار هر سه نمونه با افزایش دما کاهش یافت. در این مطالعه، بیشترین و کمترین بازده چار مربوط به چوب صنوبر در دمایا ۵۰۰ و ۸۰۰ درجه سلسیوس به ترتیب ۳۳/۳ و ۱۲/۳ درصد بود. تفاوت در بازده نمونه‌ها به دلیل متفاوت بودن ترکیب‌های شیمیایی نمونه‌ها بود [۹].



شکل ۲ تأثیر دمای واکنش بر بازده چارها

تجزیه عنصری

تجزیه عنصری چارهای تولیدشده در دماهای متفاوت در جدول ۱ آورده شده است. نتیجه‌های تجزیه عنصری چارها نشان داد که چار به طور عمده از کربن تشکیل شده است، محتوای کربن چار نمونه‌ها با افزایش دمای تف کافت افزایش

فضای نیتروژنی انجام شد. اندازه‌گیری مساحت موثر و حجم تخلخل نمونه‌ها با روش^۱ BET و به کارگیری دستگاه BELSORP Mini II ساخت کشور ژاپن انجام شد. برای این اندازه‌گیری‌ها، نمونه‌ها به طور معمول به صورت پودر به کار گرفته شدند. به طور معمول ۰/۱ گرم از هر نمونه برای اندازه‌گیری منظور شد. برای نمونه‌های با سطح کم در حدود ۰/۲ گرم از نمونه مورد نیاز بود.

نتیجه‌ها و بحث

بازده فراورده‌ها

نتیجه بررسی اثر دمای واکنش (در گستره ۵۰۰ تا ۸۰۰ درجه سلسیوس) بر بازده فراورده‌های به دست آمده از تف کافت چوب صنوبر، تایر و کاه، در شکل ۲ آورده شده است. سرعت گرمادهی برای همه نمونه‌ها ثابت و برابر با ۵ °C/min بود. ۲۰ زمان واکنش برای چار به دست آمده از هر سه نمونه برابر با دقیقه در نظر گرفته شد. با افزایش دما از ۵۰۰ به ۸۰۰ درجه سلسیوس بازده چار برای چوب صنوبر از ۳۳/۳ به ۱۲/۳ درصد کاهش یافت. کاهش بازده چار به دلیل افزایش شکست مولکولی ترکیب‌های آلی با افزایش دما بود. در دمای حدود ۱۰۰ درجه سلسیوس و اندکی بالاتر رطوبت آزاد شد، در حالی که همی سلوزل، سلوزل و لیگنین به ترتیب در دمای ۳۱۵ تا ۴۰۰ درجه سلسیوس، ۳۱۵ تا ۴۰۰ درجه سلسیوس و دماهای بالاتر از ۴۰۰ درجه سلسیوس تجزیه شدند. به طور کلی افزایش دمای تف کافت منجر به تجزیه مواد فرار به گازهایی با وزن مولکولی کم می‌شود [۶].

بیشترین بازده چار تایر در دمای ۵۰۰ درجه سلسیوس برابر با ۳۱/۹ درصد بود که با افزایش دما مقدار بازده کاهش یافت. مقادیر بازده چار تایر در سه دمای ۶۰۰، ۷۰۰ و ۸۰۰ درجه سلسیوس تفاوت اندکی داشتند و کاهش جزئی بازده با افزایش دما مشاهده شد. کاهش بازده چار بین ۵۰۰ و ۶۰۰ درجه سلسیوس سریع بود و پس از آن کاهش بازده چار تایر

1. Brunauer Emmett Teller (BET)

سترن نانو ذره های NiO دوبه شده با $Cu(II)$ با آسیاب ...

سرعت واکنش هایی همچون اکسیژن زدایی و تشکیل آب بود [۱۰]. از دست دادن اکسیژن و هیدروژن در دمای تف کافت بالاتر می تواند با شکستن پیوندهای ضعیف در ساختار چار مرتبط باشد. همچنین، در دماهای بالاتر، واکنش های آب زدایی، کربونیل زدایی و کربوکسیل زدایی در واکنشگاه تف کافت افزایش و اکسیژن کاهش یافته است که نشان می دهد اکسیژن با تشکیل CO و CO_2 فرار از دست رفته است. با افزایش دما از ۵۰۰ به ۸۰۰ درجه سلسیوس به دلیل معطر شدن و تشکیل گاز H_2 و گازهای غیرقابل چگالش، هیدروژن از چار کاهش یافت. از این رو، چار به دست آمده با افزایش دما به ترتیج معطر و دارای طبیعت کربنی تر می شود [۱۱]. مقدار گوگرد و نیتروژن نیز مانند هیدروژن روند مشابهی را نشان دادند و با افزایش دما کاهش یافتد. کاهش گوگرد در چار به دلیل افزایش سرعت واکنش گوگرد زدایی در دماهای بالاتر بود [۱۱].

یافته است. چار به دست آمده در دمای ۸۰۰ درجه سلسیوس، بالاترین مقدار کربن (چوب صنوبر) ۶۱۲۰ تایر و ۸۲۹۰ و کاه ۵۴,۳۱ درصد را در مقایسه با سایر دماها داشت. این نتیجه ها نشان می دهد که کربن با افزایش دما غنی شده است. افزایش مقدار کربن با افزایش دما به دلیل آزاد شدن مواد فرار در طی فرایند تف کافت است که منجر به حذف گونه های غیر کربنی و در نتیجه غنی سازی کربن می شود [۶]. برای مثال، می توان به کاهش مقدار اکسیژن اشاره کرد که به دلیل افزایش سرعت واکنش اکسیژن زدایی در دماهای بالا بود.

برپایه داده های جدول ۱، مقدار هیدروژن، نیتروژن، اکسیژن و گوگرد نیز با افزایش دمای تف کافت کاهش یافته است. هیدروژن از ۱,۲۶ به ۰,۳۳ درصد برای چار به دست آمده از چوب صنوبر، از ۰,۱۲۶ به ۰,۰۶ درصد برای چار تایر و از ۰,۰۴ به ۰,۰۳۶ درصد برای چار کاه کاهش یافت. کاهش هیدروژن و اکسیژن به دلیل افزایش

جدول ۱ نتیجه تجزیه عنصری چارهای به دست آمده در دماهای متفاوت

نوع چار	دماهی تف کافت (درجه سلسیوس)	کربن (درصد وزنی)	نیتروژن (درصد وزنی)	گوگرد (درصد وزنی)	هیدروژن (درصد وزنی)	اکسیژن (درصد وزنی)
چوب صنوبر	۵۰۰	۵۵,۳۷	۱,۸۳	۰,۷۰	۱,۲۶	۴۹,۸۳
	۶۰۰	۵۸,۵۳	۱,۰۷	۰,۳۷	۱,۱۳	۴۳,۹۹
	۷۰۰	۵۹,۸۶	۱,۱۷	۰,۲۴	۰,۵۰	۳۸,۲۳
	۸۰۰	۶۱,۲۰	۰,۶۷	۰,۱۷	۰,۳۳	۳۷,۶۳
تایر	۵۰۰	۷۸,۳۵	۰,۵۱	۲,۸۰	۰,۱۱	۱۸,۲۲
	۶۰۰	۷۹,۲۴	۰,۴۰	۲,۶۲	۰,۱۰	۱۷,۶۴
	۷۰۰	۸۰,۰۲	۰,۴۲	۲,۵۴	۰,۰۷	۱۶,۹۵
	۸۰۰	۸۲,۹۰	۰,۳۳	۲,۲۳	۰,۰۶	۱۴,۴۸
کاه	۵۰۰	۴۹,۳۱	۰,۸۹	۰,۳۸	۱,۰۴	۴۸,۳۷
	۶۰۰	۵۱,۴۶	۰,۸۲	۰,۳۴	۰,۹۷	۴۶,۴۱
	۷۰۰	۵۲,۹۷	۰,۷۷	۰,۳۴	۰,۹۸	۴۴,۹۴
	۸۰۰	۵۴,۳۱	۰,۴۸	۰,۱۵	۰,۳۶	۴۴,۷۰

قلى زاده و همکاران

تا 1450 cm^{-1} به گروه عاملی C-H آروماتیک اشاره داشت. شدت این نوار در طیف چار به دست آمده از چوب صنوبر در دماهای بالاتر افزایش یافته بود که نشان دهنده پایداری ترکیب‌های آروماتیک در دماهای بالا بود [۱۳]. نوار پدیدارشده در بازه 1035 cm^{-1} تا 1068 cm^{-1} نشانگر گروه عاملی C-O است که در دماهای بالا شدت آن کاهش یافته بود، زیرا پیوند O-C-O به دلیل واکنش‌های اکسیژن‌زادی شکسته شده بود [۱۴]. همچنین، نوار ناحیه 875 cm^{-1} وجود ترکیب‌های آروماتیک در چار را نشان می‌دهد [۱۳].

در طیف چار به دست آمده از تایر نیز گروه‌های عاملی -C-O، C=O، C-H، OH و C=C مشاهده می‌شود (شکل ۳). نوارهای جذب در حدود 3400 cm^{-1} به روشنی برای همه چارهای به دست آمده از تایر قابل مشاهده است که نشان دهنده گروه عاملی الکل‌ها است. با افزایش دما از 500°C به 600°C سلسیوس، شدت این نوار کاهش یافته است که نشان می‌دهد گروه‌های آلی -OH در دماهای بالا شکسته می‌شوند [۱۳]. شدت این نوار در دماهای 600°C ، 700°C و 800°C درجه سلسیوس به تقریب مشابه است و تغییرهای ناچیزی مشاهده می‌شود. این می‌تواند به دلیل سرعت بالای اکسیژن‌زادی و تشکیل آب در دماهای بالاتر باشد. نوارهای مربوط به ارتعاش کششی C-H از 2923 cm^{-1} تا 2961 cm^{-1} مربوط به گروه عاملی آلیفاتیک است. شدت این نوارها در دماهای بالا کاهش یافت. روشن است که دماهای بالا موجب افزایش آروماتیک‌شدن چار و کاهش آلیفاتیک‌شدن آن می‌شود. نوار گستردگی در گستره 1581 cm^{-1} به 1669 cm^{-1} منتهی به گروه عاملی C=C آروماتیک و C=O بود که با بیشترین شدت برای چار تایر در دمای 500°C درجه سلسیوس پدیدارشده و شدت آن با افزایش دمای تفکافت به 600°C درجه سلسیوس و دماهای بالاتر به دلیل تجزیه مواد آلی کاهش یافت [۱۴]. نوار مشاهده شده در گستره 1436 cm^{-1} در همه دماها برای نمونه چار به دست آمده از تایر مربوط به 1463°C است [۱۵] که شدت کمی برای همه نمونه‌ها

طیف‌های FTIR چارهای به دست آمده و گرافیت

طیف‌های FTIR چارهای چوب صنوبر، تایر و کاه در دماهای 500°C ، 600°C ، 700°C و 800°C درجه سلسیوس همراه با گرافیت در شکل ۳ نشان داده شده‌اند. طیف‌های چارهای تولیدی در هر سه نمونه ویژگی‌های مشابهی را نشان می‌دهند، ولی دلیل متفاوت بودن آن‌ها، تغییر در شدت گروه‌های عاملی با افزایش دما است.

در طیف چار به دست آمده از چوب صنوبر قله‌های مربوط به گروه‌های عاملی C-O، C=O، C-H، OH و C=C مشاهده می‌شود. در این طیف در همه دماها قله‌هایی در گستره 3400 cm^{-1} دیده می‌شود که نشان دهنده ارتعاش کششی گروه‌های عاملی -OH است [۱۰]. شدت این گروه عاملی با افزایش دما کاهش یافته است. این کاهش ممکن است به دلیل از بین رفتن گروه‌های عاملی الکلی در دماهای بالا به دلیل واکنش‌های آب‌زادایی باشد. همچنین، به تسريع واکنش آب‌زادایی زیست-توده نسبت داده می‌شود. نوارهای مربوط به ارتعاش‌های کششی نامتقارن و متقارن گروه عاملی آلیفاتیک C-H در گستره 2820 cm^{-1} تا 2980 cm^{-1} مشاهده شدن. شدت نوار مربوط در طیف چارهای به دست آمده در دماهای بالاتر به دلیل شکستن پیوندهای ضعیف C-H کاهش یافته بود. کاهش شدت نوارهای مربوط به این گروه عاملی نشان دهنده افزایش سرعت واکنش تبدیل ترکیب‌های آلیفاتیک به آروماتیک بود [۱۰]. در گستره عدد موج 1550 cm^{-1} تا 1650 cm^{-1} ، نوار مربوط به گروه عاملی C=C حلقه‌های آروماتیک و C=O مشاهده شد. با افزایش دما مقدار شدت این نوار برای هر دو نمونه چار به دست آمده از چوب صنوبر کاهش یافت. این نتیجه‌ها حاکی از حذف ترکیب‌های اکسیژن‌دار در دماهای بالا و نشان دهنده تبخیر مواد آلی نمونه‌های چار در دماهای بالا است و موجب می‌شود چار به تدریج به کربن آروماتیک تبدیل شود [۱۲]. نوار گستره 1350°C

سترن نانو ذره های NiO دوبه شده با $Cu(II)$ با آسیاب ...

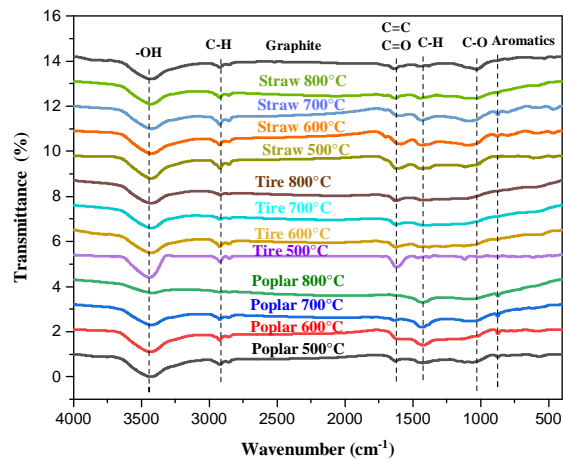
هیدروکربن آلیاتیک و توسعه ساختار آروماتیک چار با افزایش دمای تف کافت است [۱۷]. نوار گستره 1050 cm^{-1} تا 1120 cm^{-1} نشان دهنده گروه عاملی C-O مربوط به اثر است که گروه های اتر به دلیل افزایش سرعت واکنش اکسیژن زدایی با افزایش دما کاهش می یابند [۱۸]. نوارها بیانگر ترکیب های آروماتیک در گستره 700 cm^{-1} تا 900 cm^{-1} برای چار به دست آمده از کاه در همه دماها مشاهده شدند که نشان دهنده ترکیب های معطر در ساختار چار است [۱۳].

نتیجه مقایسه طیف های FTIR نشان داد که چار هر سه نمونه چوب صنوبر، تایر و کاه ترکیب های آروماتیک بیشتری با درجه های متفاوت در ساختار خود دارند. همچنین، ترکیب های آلیاتیک و گروه های عاملی حاوی اکسیژن در ساختار چارها مشاهده شد که شدت نوارهای مربوط متفاوتی داشتند و با افزایش دما شدت آنها در هر سه نمونه چار کاهش یافت. با افزایش دمای تف کافت شدت گروه های هیدروکسیل، C-H، C=C و C-O آروماتیک، اتر کاهش یافت که نشان می دهد چوب صنوبر، تایر و کاه می توانند در دماهای بالا دارای کربن (بیشتر به شکل آروماتیکی) باشند.

الگوهای XRD چارهای به دست آمده و گرافیت برای شناسایی فازهای تشکیل شده و تعیین ساختار بلوری، پراش پرتو ایکس (XRD) به کار گرفته شد. الگوهای پراش پرتو ایکس چارهای تولید شده از نمونه های چوب صنوبر، تایر و کاه همراه با الگوی گرافیت در شکل ۴ آورده شده اند. با توجه به این شکل قله شاخص (۰۰۲) در الگوی گرافیت تجاري در $2\theta = 26.5^\circ$ مشاهده می شود که بیانگر بلوری بودن آن است [۱۹]. این قله مربوط به صفحه های بلوری گرافیت است [۲۰]. در الگوهای XRD چارهای به دست آمده از چوب صنوبر، تایر و کاه نیز با اندکی جایه جایی، این قله در الگوهای نمونه های تهیه شده برای همه دماها مشاهده می شود. قله (۰۰۲) به انباشت شدن صفحه های پایه گرافیتی در بلور کهای چار مربوط می شود [۸]. این

داشت. نوار پدیدار شده در 1120 cm^{-1} مربوط به گروه عاملی C-O هیدروکسیل فنلی یا اترها است که برای چار به دست آمده از تایر در دمای 500°C درجه سلسیوس مشاهده شده و با افزایش دمای تف کافت شدت آن کاهش یافته است که نشان می دهد با احتمال در اثر واکنش های کربوکسیل زدایی شکسته شده اند [۱۴].

باتوجه به شکل ۳ در طیف چار به دست آمده از کاه گروه های عاملی C-H، C=C، C-O و -OH وجود دارد. در اثر افزایش دما، طیف ها متفاوت شده اند. نوار پهن در 3400 cm^{-1} مربوط به کشنش گروه -OH است که با افزایش دما به درجه سلسیوس شدت آن کم شده است. این وضعیت ممکن است به از دست دادن رطوبت زیست توده در اثر اکسیژن زدایی نسبت داده شود [۱۶]. نوار مربوط به C-H آروماتیک در گستره 2855 cm^{-1} تا 2927 cm^{-1} نیز با افزایش دما کاهش یافته است. این کاهش با احتمال به دلیل شکستن پیوندهای بین اتم های کربن و هیدروژن است [۱۶].



شکل ۳ طیف های FTIR چارهای به دست آمده از چوب صنوبر، تایر و کاه

نوارهای گستره 1550 cm^{-1} تا 1650 cm^{-1} نشان دهنده ارتعاش کشنشی C=C آروماتیک و C=O است. شدت این نوارها در دماهای بالاتر کاهش یافته که این بیشتر نشان دهنده کاهش

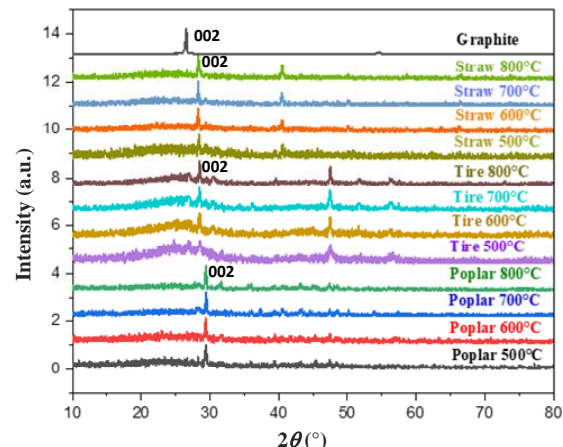
قلی زاده و همکاران

به دست آمده در جدول ۲ ارائه شده‌اند. در طی فرایند تف کافت، سطح ویژه، اندازه و حجم حفره‌های نمونه‌های چار به شدت با دما تعییر کرد. به طور کلی سطح ویژه چارها با افزایش دمای تف کافت افزایش یافت. برای چارهای چوب صنوبر در دمای ۶۰۰ درجه سلسیوس و تایر در دمای ۷۰۰ درجه سلسیوس یک کاهش سطح ویژه مشاهده شد که برای چار به دست آمده از چوب صنوبر مقدار سطح ویژه از ۱۴۰ به $64 \text{ m}^2\text{g}^{-1}$ کاهش یافت. این نتیجه می‌تواند به دلیل افزایش سرعت واکنش بسپارش با افزایش دما باشد [۲۱].

چار تشکیل شده از چوب صنوبر در دمای پایین‌تر مستلزم تراکم مواد فرار آلی است که می‌تواند منجر به مسدود شدن برخی از حفره‌ها و افت در سطح کل شود. به طور کلی سطح ویژه چارها با افزایش دمای تف کافت، افزایش می‌یابد. دلیل مساحت کم در دمای پایین می‌تواند به علت کراکینگ یا مسدود شدن حفره‌های کوچک در چار باشد. در دمای بالاتر فضاهای خالی زیادی در ساختار چار به دلیل تبخیر ترکیب‌های آلی ایجاد و موجب افزایش سطح ویژه در دمای بالای تف کافت شده است.

در همه نمونه‌ها سطح BET و حجم کل حفره‌ها به بیشینه مقدار خود در دمای ۸۰۰ درجه سلسیوس رسید. این پدیده می‌تواند از نظر انتشار مواد فرار در دمای متفاوت توضیح داده شود. هنگامی که دمای تف کافت افزایش یافته، مواد فرار در داخل ذره‌ها تشکیل و از سطح آن آزاد و منجر به تشکیل حفره شده بود [۲۱]. تصویرهای SEM نمونه‌ها در دو دمای تف کافت ۵۰۰ و ۸۰۰ درجه سلسیوس (شکل ۵) نیز با نکته یادشده همخوانی دارد. بنابراین، سطح کل و حجم کل حفره‌ها افزایش یافت.

قله در الگوهای نمونه‌های تف کافت شده در دمای ۵۰۰ درجه سلسیوس با شدت کمتری پدیدار شده که نشان‌دهنده شروع فرایند انباسته شدن صفحه‌های پایه گرافیتی است و با افزایش دمای تف کافت به ۸۰۰ درجه سلسیوس شدت نسبی قله (۰۰۲) برای هر سه نمونه افزایش یافته و باریک‌تر شده است که نشان‌دهنده درجه بالاتری از بلورینگی است. فرایند گرافیتی‌شدن شامل حرکت محدود و بازآرایی اتم‌های کربن است که باید در طول فرایند گرمادهی تغییر شکل دهند. جایه‌جایی قله مربوط ممکن است به دلیل تشکیل ناقص ساختارهای گرافیت در طول فرایند گرافیتی شدن باشد [۱۹]. قله (۰۰۲) در الگوی چارهای تولیدی از چوب صنوبر، تایر و کاه در دمای ۸۰۰ درجه سلسیوس، به ترتیب در ۲۰ برابر با $29/38^\circ$, $28/56^\circ$ و $28/26^\circ$ پدیدار شده‌اند که نسبت به نمونه‌های تهیه شده در دمای دیگر به قله (۰۰۲) گرافیت تجاری نزدیک‌تر هستند. با توجه به این نتیجه‌ها می‌توان به تشکیل کربن گرافیتی در دمای‌های تف کافت بالاتر، اشاره کرد.



شکل ۴ الگوهای XRD چارهای به دست آمده از چوب صنوبر، تایر و کاه

ویژگی‌های فیزیکی سطح چارهای به دست آمده و گرافیت ویژگی‌های فیزیکی سطح چارهای تولید شده در دمای ۵۰۰ تا ۸۰۰ درجه سلسیوس با روش BET بررسی شد که نتیجه‌های

سترنانوذردهای NiO دوبه شده با $Cu(II)$ آسیاب ...

جدول ۲ ویژگی‌های فیزیکی سطح چارهای تهیه شده

نوع چار	دماهی تف کافت (درجه سلسیوس)	مساحت سطح ویژه ($m^2 g^{-1}$)	حجم کل حفره‌ها ($cm^3 g$)	میانگین قطر حفره‌ها (nm)	ویژگی‌های فیزیکی تعیین شده با روش BET
چوب صنوبر	۵۰۰	۱۴۰	۰,۰۹۶	۲,۷۴۳	
	۶۰۰	۶۴	۰,۰۶۷	۴,۱۹۶	
	۷۰۰	۴۹۳	۰,۲۷۳	۲,۲۱۲	
	۸۰۰	۷۰۸	۰,۴۲۰	۲,۱۷۵	
تایر	۵۰۰	۵۴	۰,۶۶۱	۴۹,۱۶۹	
	۶۰۰	۶۳	۰,۶۹۲	۴۴,۱۳۹	
	۷۰۰	۶۲	۰,۷۱۱	۴۲,۱۴۸	
	۸۰۰	۱۷۲	۰,۷۲۵	۱۶,۸۱۲	
کاه	۵۰۰	۴۴	۰,۰۶۱	۵,۴۶۷	
	۶۰۰	۸۲	۰,۰۸۰	۳,۸۸۳	
	۷۰۰	۱۹۸	۰,۱۲۸	۲,۵۸۶	
	۸۰۰	۴۷۳	۰,۲۵۵	۲,۱۵۵	

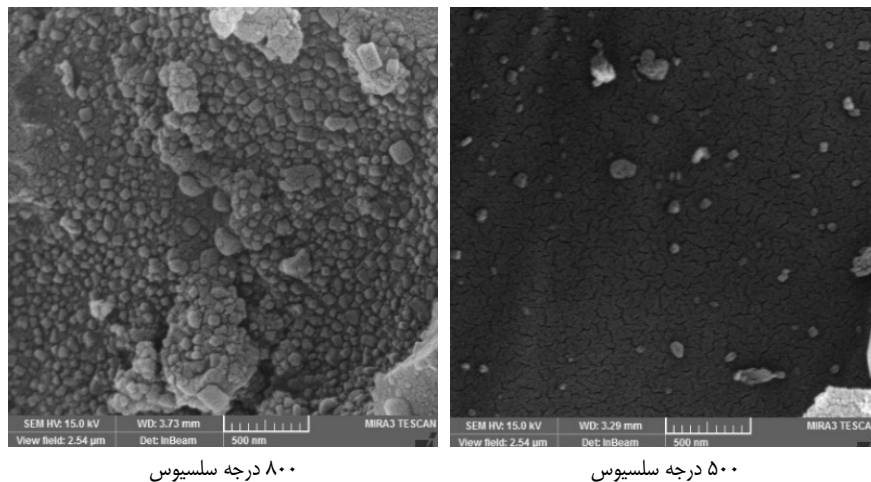
تصویرهای SEM چارهای تایر در شکل ۶ ارائه شده‌اند که نشان می‌دهند به طور تقریبی در همه نمونه‌ها، ذره‌های ساکن در سطح، کروی یا بیضی‌شکل هستند و به طور تقریبی اندازه یکسانی دارند. بالین حال، افزایش بیشتر دما منجر به کاهش اندازه بلورها و در نتیجه افزایش سطح فعل شده است که با نتیجه‌های به دست آمده از روش BET همخوانی دارد. برپایه تصویرهای SEM مربوط به چار کاه در شکل ۷، دمای ۵۰۰ درجه سلسیوس، شکل لایه‌ای مانند و صفحه‌ای را نشان می‌دهد و با افزایش دمای تف کافت به ۸۰۰ درجه سلسیوس اجزای مکعبی شکل با اندازه‌های متفاوت در سطح چار مشاهده می‌شود. در مقایسه با شکل مربوط به گرافیت ارائه شده در شکل ۸ می‌توان به این نتیجه رسید که هر سه نمونه به دست آمده از چوب صنوبر، تایر و کاه که در دمای ۵۰۰ درجه سلسیوس تف کافت شده‌اند، به تقریب شبیه به گرافیت هستند، ولی با افزایش دمای تف کافت شکل سطح نمونه‌ها

تصویرهای SEM چارهای به دست آمده و گرافیت میکروسکوپ الکترونی روبشی (SEM) برای مشخص کردن شکل و اندازه ذره‌های سطح چارها و همچنین، بررسی تغییرهای ریخت آن‌ها به کارگرفته شد. تصویرهای SEM برای نمونه‌های به دست آمده از چوب صنوبر، تایر، کاه و گرافیت را می‌توان به ترتیب در شکل‌های ۵، ۶ و ۸ مشاهده کرد. با توجه به تصویرهای SEM، ریخت چارها با افزایش دمای تف کافت تغییر کرده است. با توجه به شکل ۵، تصویر چار تهیه شده از چوب صنوبر در دمای ۵۰۰ درجه سلسیوس ساختار به طور کامل یکنواخت و حالت صفحه‌ای مانند را نشان می‌دهد. با توجه به اینکه افزایش دمای تف کافت همراه با تبخیر مواد زیست‌توده است، تصویر مربوط به نمونه تهیه شده در دمای ۸۰۰ درجه سلسیوس نشان‌دهنده ذره‌های بلوری مکعبی شکل، پکنواخت‌تر و منظم‌تر نسبت به نمونه تهیه شده در دمای پایین‌تر است.

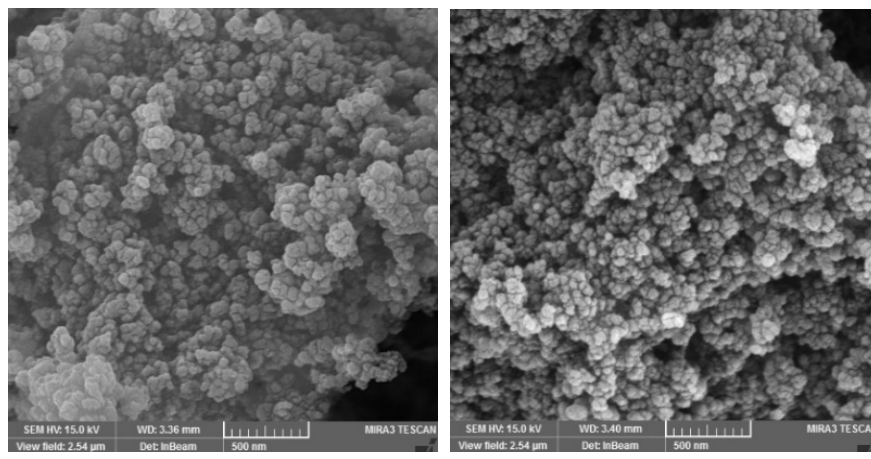
قلی زاده و همکاران

دلیل تبخیر مواد فرار در دماهای بالاتر بوده است.

تغییر چشمگیری داشته است که همان‌گونه که اشاره شد به

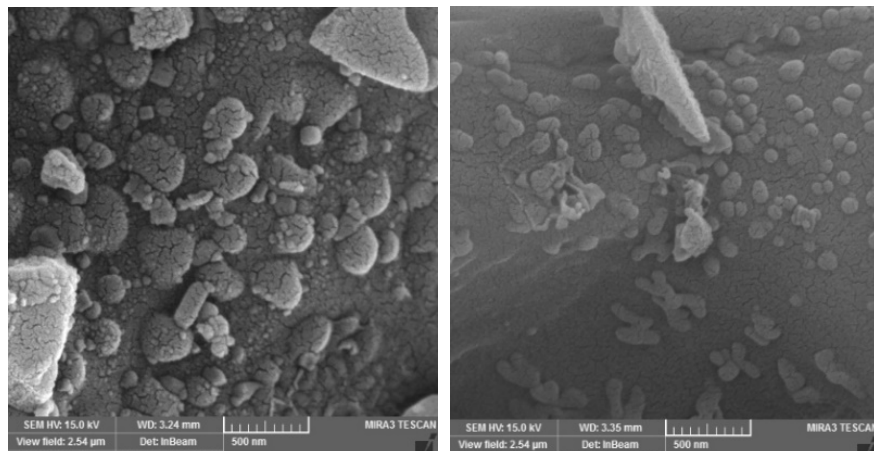


شکل ۵ تصویرهای SEM چارهای بدستآمده از چوب صنوبر در دماهای متفاوت



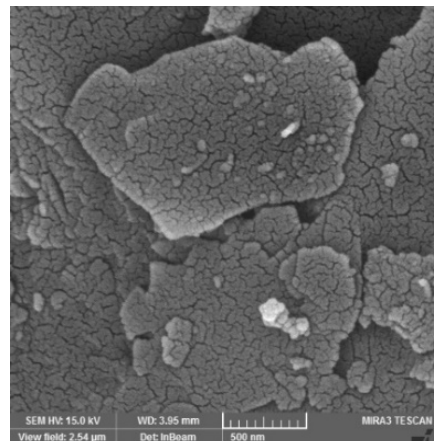
شکل ۶ تصویرهای SEM چارهای بدستآمده از تایر در دماهای متفاوت

سترن نانوذرهای NiO دوبه شده با $Cu(II)$ با آسیاب ...



شکل ۷ تصویرهای SEM چارهای بهدستآمده از کاه در دماهای متفاوت

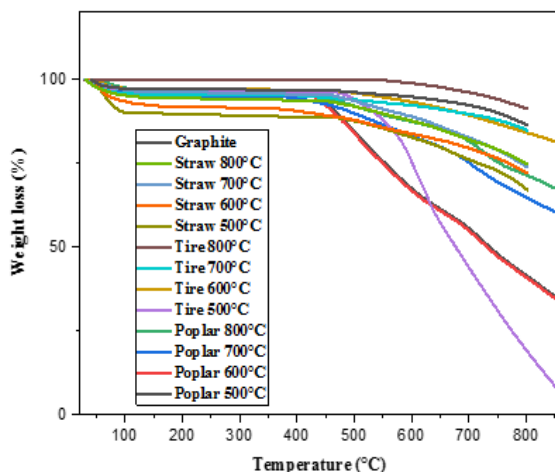
می‌شود. نمودار مربوط به چار تولیدی در دمای ۵۰۰ درجه سلسیوس، در بالای ۱۵۰ درجه سلسیوس، کاهش وزنی بین ۳۱۵ تا ۴۵۰ درجه سلسیوس را نشان می‌دهد که ممکن است به طور عمد با تخرب سلولز مرتبط باشد. علاوه بر این، کاهش وزن بین ۴۵۰ تا ۷۰۰ درجه سلسیوس، ممکن است به تخرب لیگنین مربوط باشد [۲۲]. برای نمونه‌های چار بهدستآمده از چوب صنوبر در دماهای ۶۰۰ و ۷۰۰ درجه سلسیوس، کاهش وزنی در گستره دمایی ۴۵۰ تا ۷۰۰ درجه سلسیوس، مشاهده می‌شود که نشان‌دهنده تخرب اجزای آلی موجود در چوب صنوبر است. به طور کلی، تجزیه گرمایی همی سلولز، سلولز و لیگنین به عنوان اجزای اصلی ساختار زیست‌توده رخ می‌دهد. نمودار کاهش وزن چار تهیه شده از چوب صنوبر در دماهای ۷۰۰ و ۸۰۰ درجه سلسیوس به تقریب مشابه هم است؛ تنها با این تفاوت که شیب کاهش وزن در نمونه تهیه شده در دمای ۷۰۰ درجه سلسیوس نسبت به ۸۰۰ درجه سلسیوس بیشتر است. کاهش وزن کلی برای ۵۰۰، ۶۰۰ و ۷۰۰ درجه سلسیوس به ترتیب ۳۱/۲۸، ۷۵/۳۱ و ۳۹/۵۸ درصد بود. این روند نشان می‌دهد که تخرب سلولز، همی سلولز و لیگنین در دماهای بالا کامل می‌شود و از دستدادن



شکل ۸ تصویر SEM گرافیت

نمودارهای TGA چارهای بهدستآمده و گرافیت تجزیه وزن سنجی گرمایی (TGA) چارهای برای درک رفتار پیروولیتیک و مقاومت گرمایی آن‌ها انجام شد. شکل ۹ نمودارهای TGA نمونه‌های چار و گرافیت را، نشان می‌دهد. برای نمونه چار بهدستآمده از چوب صنوبر، با توجه به نمودارهای برای همه نمونه‌ها کاهش وزن جزئی در دمای کمتر از ۱۳۰ درجه سلسیوس به دلیل تبخیرشدن آب از چارهای مشاهده

قلی زاده و همکاران



شکل ۹ نمودارهای TGA برای چارهای چوب صنوبر، تایر و کاه

آنالیز DTG چارهای به دست آمده و گرافیت

شکل ۱۰ نمودارهای DTG بر حسب دما را برای چارهای چوب صنوبر، تایر و کاه نشان می‌دهد. نمودار DTG نیز تأیید کننده وجود مواد متفاوت در چارهای چوب صنوبر، تایر و کاه بود. برپایه این شکل، چار به دست آمده از چوب صنوبر شامل سه پیک در دمای زیر ۱۰۰، ۵۰۰ و ۷۰۰ درجه سلسیوس است که نشان‌دهنده تجزیه ترکیب‌های متفاوت چوب است. پیک در دمای زیر ۱۰۰ درجه سلسیوس نشان‌دهنده تبخیر آب و ترکیب‌های سبکتر است. نمودار DTG مربوط به چار تایر نیز دارای پیکی در دمای زیر ۱۰۰ درجه سلسیوس است که به تبخیر نمونه‌ها اشاره دارد. همچنین، چار تایر تولیدی در دمای ۵۰۰ درجه سلسیوس، پیک به نسبت شدیدی در دمای ۶۰۰ درجه سلسیوس دارد که نشان‌دهنده آزادشدن گروهی از مواد سنگین از ساختار تایر است. با توجه به نمودار DTG برای چار کاه پیک‌هایی در دمای زیر ۱۰۰، ۱۰۰ و ۸۵۰ درجه سلسیوس مشاهده می‌شود که به دلیل تبخیر آب و تخریب لیگنین در طول دوره گرمایش است. مقایسه نمودارها با نمودار گرافیت نشان از شباهت کاهش وزن و ساختاری برخی از نمونه‌های چار با گرافیت دارد. نمونه چارهای تایر و کاه

جرم در دمای بالا به طور عمده به هیدروژن‌زدایی و آروماتیکی بودن چار مربوط است.

برپایه نمودارهای TGA مربوط به چار تایر، کاهش وزن از حدود ۵۰۰ درجه سلسیوس شروع شده (شکل ۹) که چار تایر تولیدی در دمای ۵۰۰ درجه سلسیوس، بیشترین شبیه تغییرها را داشت که به کراکینگ ثانویه فراورده‌های پیرولیتیک اشاره دارد و افزایش سرعت تجزیه لاستیک در این دما را نشان می‌دهد [۲۳]. در صورتی که چارهای دیگر کاهش وزن شبیه گرافیت را داشتند. چار تولیدی در ۷۰۰ درجه سلسیوس، بیشترین شباهت کاهش دما را با گرافیت داشت که شاید به دلیل ساختار آروماتیکی مشابه‌تر باشد.

برپایه نمودارهای TGA مربوط به چار کاه، نخستین تخریب زیر ۱۰۰ درجه سلسیوس برای همه نمونه‌ها را می‌توان به کاهش رطوبت نسبت داد. شبیه نمودار کاهش وزن برای چار کاه به دست آمده در دمای ۵۰۰، ۷۰۰، ۸۰۰ و ۸۴۰ درجه سلسیوس به تقریب مشابه هم بود و از حدود دمای ۸۰۰ درجه سلسیوس شروع شده و تا دمای ۸۰۰ درجه سلسیوس ادامه دارد که به‌احتمال به دلیل تجزیه لیگنین در ساختار چار است [۱۱]. کاهش وزن کلی برای نمونه‌های چار کاه در دمای ۵۰۰، ۷۰۰ و ۸۰۰ درجه سلسیوس به ترتیب برابر با ۲۷/۸۴، ۳۲/۷۳ و ۲۴/۹۳ درصد است. کاهش وزن کمتر برای نمونه‌های چار در دمای بالا نشان‌دهنده افزایش پایداری گرمایی و آروماتیکی بودن به دلیل دمای بالای تف کافت است. به‌طور کلی، مقایسه نمودار TGA چار به دست آمده از سه نمونه چوب صنوبر، تایر و کاه در دمای‌های متفاوت نشان داد که چارهای تولیدشده از هر سه نمونه در دمای ۸۰۰ درجه سلسیوس، کاهش وزن کمتری را نسبت به سایر نمونه‌ها نشان دادند و از پایداری گرمایی بالاتری برخوردار بودند. پایداری گرمایی خوب چار تولیدشده در دمای ۸۰۰ درجه سلسیوس را می‌توان به درجه بالای گرافیتی شدن آن‌ها نسبت داد.

سترن نانو ذرهای NiO دوبه شده با $Cu(II)$ با آسیاب ...

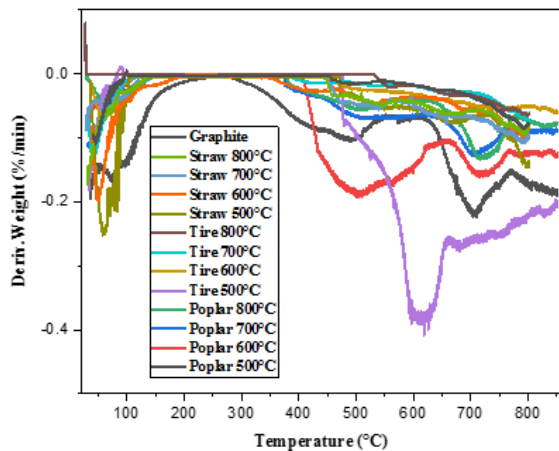
مقدارشان کم شدند که بدلیل سرعت‌های بالای اکسیژن، هیدروژن، نیتروژن و گوگردزدایی در دماهای بالا بود.

با مقایسه طیف‌های FTIR نمونه‌ها مشخص شد که شدت گروه عاملی هیدروکسیل با افزایش دما بدلیل شکستن گروه‌های آلی O-H در اثر واکنش‌های آب‌زدایی کاهش یافت. کاهش شدت این گروه‌های عاملی نشان‌دهنده تبدیل چار از ساختار آلیافاتیک به آروماتیک بود. نوار مربوط به گروه عاملی C=C و C=O برای هر سه نمونه بدلیل تبخیر مواد آلی در دماهای بالاتر کاهش یافت. کاهش این نوار نشان‌دهنده آروماتیک‌تری‌بودن چار در دماهای بالا است.

در الگوهای XRD نمونه‌ها، قله (002) مربوط به صفحه‌های بلوری گرافیت در الگوهای چارهای به دست آمده از چوب صنوبر، تایر و کاه به ترتیب در $2\theta = 26.26^\circ$, 28.56° و 29.38° مشاهده شد. شدت نسبی قله (002) مربوط به گرافیت برای هر سه نمونه با افزایش دما افزایش یافت.

با افزایش دمای تفکفت سطح ویژه چارها افزایش یافت و در دمای 800° درجه سلسیوس به بالاترین مقدار خود رسید. همچنین، بیشترین مقدار حجم خفره‌های نمونه‌ها مربوط به نمونه‌های تهیه شده در دمای 800° درجه سلسیوس بود. برپایه نمودارهای TGA، چارهای تولید شده با دمای پایین‌تر نسبت به چارهای تولید شده با دمای بالاتر پایداری گرمایی کمتری داشتند و پایداری گرمایی چار هر سه نمونه با افزایش دما، افزایش یافت.

بیشترین شباهت را با گرافیت دارند در حالی که نمودار DTG چار به دست آمده از چوب صنوبر تا حدودی متفاوت‌تر از گرافیت بود.



شکل ۱۰ نمودارهای DTG برای چارهای چوب صنوبر، تایر و کاه

نتیجه‌گیری

در این مطالعه امکان‌سنجی تولید گرافیت از چارهای چوب صنوبر، تایر و کاه در دماهای 500° , 600° , 700° و 800° درجه سلسیوس بررسی شد. نتیجه‌ها نشان داد که افزایش دما تأثیر چشمگیری بر ساختار چارها داشت. با افزایش دمای تفکفت بازده چار کاهش یافت و نمونه‌ها در دمای 500° درجه سلسیوس بیشترین بازده را داشتند. برپایه تجزیه عنصری با افزایش دما از 500° به 800° درجه سلسیوس میزان کربن موجود در نمونه چارها به بالاترین مقدار خود رسید. در حالی که گوگرد، نیتروژن و هیدروژن در طی فرایند تفکفت با افزایش دما

مراجع

- [1] Banek NA, Abele DT, McKenzie Jr KR, Wagner MJ. Sustainable conversion of lignocellulose to high-purity, highly crystalline flake potato graphite. ACS sustainable chemistry & engineering. 2018;6(10):13199-207. doi: 10.1021/acssuschemeng.8b02799
- [2] Sun Z, Yao D, Cao C, Zhang Z, Zhang L, Zhu H, Yuan Q, Yi B. Preparation and formation mechanism of biomass-based graphite carbon

قلیزاده و همکاران

- catalyzed by iron nitrate under a low-temperature condition. *Journal of Environmental Management.* 2022;318:115555. doi: [10.1016/j.jenvman.2022.115555](https://doi.org/10.1016/j.jenvman.2022.115555)
- [3] Yap YW, Mohamed N, Norizan MN, Abd Rahim SZ, Ahmad Salimi MN, Abdul Razak K, Mohamad IS, Abdullah MM, Mohamad Yunus MY. Recent Advances in Synthesis of Graphite from Agricultural Bio-Waste Material: A review. *Materials.* 2023;16(9):3601. doi: [10.3390/ma16093601](https://doi.org/10.3390/ma16093601)
- [4] Tang MM, Bacon R. Carbonization of cellulose fibers—I. Low temperature pyrolysis. *Carbon.* 1964;2(3):211-20. doi: [10.1016/0008-6223\(64\)90035-1](https://doi.org/10.1016/0008-6223(64)90035-1)
- [5] Li Y, Paranthaman MP, Akato K, Naskar AK, Levine AM, Lee RJ, Kim SO, Zhang J, Dai S, Manthiram A. Tire-derived carbon composite anodes for sodium-ion batteries. *Journal of Power Sources.* 2016;316:232-8. doi: [10.1016/j.jpowsour.2016.03.071](https://doi.org/10.1016/j.jpowsour.2016.03.071)
- [6] Yakout SM. Physicochemical characteristics of biochar produced from rice straw at different pyrolysis temperature for soil amendment and removal of organics. *Proceedings of the National Academy of Sciences, India Section A: Physical Sciences.* 2017;87:207-14. doi: [10.1007/s40010-017-0343-z](https://doi.org/10.1007/s40010-017-0343-z)
- [7] Gao N, Wang F, Quan C, Santamaria L, Lopez G, Williams PT. Tire pyrolysis char: Processes, properties, upgrading and applications. *Progress in Energy and Combustion Science.* 2022;93:101022. doi: [10.1016/j.pecs.2022.101022](https://doi.org/10.1016/j.pecs.2022.101022)
- [8] Fu P, Yi W, Bai X, Li Z, Hu S, Xiang J. Effect of temperature on gas composition and char structural features of pyrolyzed agricultural residues. *Bioresource Technology.* 2011;102(17):8211-9. doi: [10.1016/j.biortech.2011.05.083](https://doi.org/10.1016/j.biortech.2011.05.083)
- [9] Wei S, Zhu M, Fan X, Song J, Li K, Jia W, Song H. Influence of pyrolysis temperature and feedstock on carbon fractions of biochar produced from pyrolysis of rice straw, pine wood, pig manure and sewage sludge. *Chemosphere.* 2019;218:624-31. doi: [10.1016/j.chemosphere.2018.11.177](https://doi.org/10.1016/j.chemosphere.2018.11.177)
- [10] Zeng K, Minh DP, Gauthier D, Weiss-Hortala E, Nzihou A, Flamant G. The effect of temperature and heating rate on char properties obtained from solar pyrolysis of beech wood. *Bioresource technology.* 2015;182:114-9. doi: [10.1016/j.biortech.2015.01.112](https://doi.org/10.1016/j.biortech.2015.01.112)
- [11] Biswas B, Balla P, Krishna BB, Adhikari S, Bhaskar T. Physicochemical characteristics of bio-char derived from pyrolysis of rice straw under different temperatures. *Biomass Conversion and Biorefinery.* 2022;13:1-9. doi: [10.1007/s13399-022-03261-y](https://doi.org/10.1007/s13399-022-03261-y)
- [12] Wang S, Shi R, Li H, Li Y, Xu Y, Han Z. Effect of terminal temperature on the morphology and potentially toxic metals concentrations of biochars derived from paper and kitchen waste. *Waste Management.* 2020;118:445-51. doi: [10.1016/j.wasman.2020.09.012](https://doi.org/10.1016/j.wasman.2020.09.012)
- [13] Zolfi Bavariani M, Ronaghi A, Ghasemi R. Influence of pyrolysis temperatures on FTIR analysis, nutrient bioavailability, and agricultural use of poultry manure biochars. *Communications in Soil Science and Plant Analysis.* 2019;50(4):402-11. doi: [10.1080/00103624.2018.1563101](https://doi.org/10.1080/00103624.2018.1563101)
- [14] Kim D, Lee K, Bae D, Park KY. Characterizations of biochar from hydrothermal carbonization of exhausted coffee residue. *Journal of Material Cycles and Waste Management.* 2017;19:1036-43. doi: [10.1007/s10163-016-0572-2](https://doi.org/10.1007/s10163-016-0572-2)
- [15] Han J, Li W, Liu D, Qin L, Chen W, Xing F. Pyrolysis characteristic and mechanism of waste tyre: A thermogravimetry-mass spectrometry analysis. *Journal of Analytical and Applied Pyrolysis.* 2018;129:1-5. doi: [10.1016/j.jaap.2017.12.016](https://doi.org/10.1016/j.jaap.2017.12.016)
- [16] Xing X, Fan F, Jiang W. Characteristics of biochar pellets from corn straw under different pyrolysis temperatures. *Royal Society open science.* 2018;5(8):172346. doi: [10.1098/rsos.172346](https://doi.org/10.1098/rsos.172346)

سترن نانو ذرهای NiO دوبه شده با $Cu(II)$ با آسیاب ...

- [17] Chatterjee R, Sajjadi B, Chen WY, Mattern DL, Hammer N, Raman V, Dorris A. Effect of pyrolysis temperature on physicochemical properties and acoustic-based amination of biochar for efficient CO_2 adsorption. *Frontiers in Energy Research*. 2020;8:85. doi: [10.3389/fenrg.2020.00085](https://doi.org/10.3389/fenrg.2020.00085)
- [18] Peng FU, Song HU, XIANG J, Lushi SU, Tao Y, Zhang A, Zhang J. Mechanism study of rice straw pyrolysis by Fourier transform infrared technique. *Chinese Journal of Chemical Engineering*. 2009;17(3):522-9. doi: [10.1016/S1004-9541\(08\)60240-2](https://doi.org/10.1016/S1004-9541(08)60240-2)
- [19] Karim NA, Ramli MM, Ghazali CM, Mohtar MN. Synthetic graphite production of oil palm trunk chip at various heating rate via pyrolysis process. *Materials Today: Proceedings*. 2019;16:2088-95. doi: [10.1016/j.matpr.2019.06.096](https://doi.org/10.1016/j.matpr.2019.06.096)
- [20] Barin GB, de Fátima Gimenez I, da Costa LP, Souza Filho AG, Barreto LS. Influence of hydrothermal carbonization on formation of curved graphite structures obtained from a lignocellulosic precursor. *Carbon*. 2014;78:609-12. doi: [10.1016/j.carbon.2014.07.017](https://doi.org/10.1016/j.carbon.2014.07.017)
- [21] binti Ab Aziz NS, bin Mohd Nor MA, Hamzah F. Suitability of biochar produced from biomass waste as soil amendment. *Procedia-Social and Behavioral Sciences*. 2015;195:2457-65. doi: [10.1016/j.sbspro.2015.06.288](https://doi.org/10.1016/j.sbspro.2015.06.288)
- [22] Azargohar R, Nanda S, Kozinski JA, Dalai AK, Sutarto R. Effects of temperature on the physicochemical characteristics of fast pyrolysis bio-chars derived from Canadian waste biomass. *Fuel*. 2014;125:90-100. doi: [10.1016/j.fuel.2014.01.083](https://doi.org/10.1016/j.fuel.2014.01.083)
- [23] Xu F, Wang B, Yang D, Ming X, Jiang Y, Hao J, Qiao Y, Tian Y. TG-FTIR and Py-GC/MS study on pyrolysis mechanism and products distribution of waste bicycle tire. *Energy conversion and management*. 2018;175:288-97. doi: [10.1016/j.enconman.2018.09.013](https://doi.org/10.1016/j.enconman.2018.09.013)

Investigation and feasibility study of graphite production process from poplar wood waste, tire and straw**A. Faraji Bakhshkandi¹, M. Gholizadeh^{2,*}, A. Babapour³, H. Aghdasinia²**

1. MSc Student of Faculty of Chemical and Petroleum Engineering, Tabriz University, Tabriz, Iran.

2. Associate Prof. of Faculty of Chemical and Petroleum Engineering, Tabriz University, Tabriz, Iran.

3. Associate Prof. of Faculty of Chemical Engineering, Mohaghegh Ardabili University, Ardabil, Iran.

Abstract: In this study, for the feasibility of graphite production, three samples of poplar wood, tire and straw were pyrolyzed at temperatures of 500, 600, 700 and 800 °C with a heating rate of 5 °C/min and a retention time of 20 minutes. The effects of pyrolysis temperature on the produced char. were also investigated. The results showed that increasing the temperature of pyrolysis led to a decrease in char efficiency, and all three samples had the highest efficiency at 500 °C temperature, which is due to the higher decomposition of raw materials at higher temperatures. According to the results of elemental analysis, the concentration of carbon increased with increasing temperature for preparation of all samples, but the concentration of hydrogen, nitrogen, sulfur and oxygen decreased. According to FTIR analysis, functional groups of -OH, C-H, C=O and C-O were observed in all three samples obtained from poplar wood, tire, and straw and the ratio of aromatic to aliphatic compounds increased at higher temperatures. According to the XRD analysis, the (002) peak related to the graphite plates was observed in the XRD patterns of the samples. This peak in XRD patterns of all samples obtained at 800 °C was sharper and narrower than that of the samples obtained at the other temperatures. Also, this peak was more similar to the corresponding peak of commercial graphite than that of the samples obtained at the other temperatures. The result of TGA showed that the samples obtained at 800 °C had less weight loss and more thermal stability than the other samples.

Keywords: Tire waste, poplar wood, straw, pyrolysis, graphite.

* Corresponding author Email:
m.gholizadeh@tabrizu.ac.ir

Journal of Applied Research in Chemistry